

(51) Int.Cl <sup>1</sup>	識別記号	F I
G 0 9 C 1/00	6 5 0	G 0 9 C 1/00 6 5 0 B
G 0 6 F 7/58		G 0 6 F 7/58 A

請求項の数18(全 12 頁)

(21) 出願番号	特願平11-362203	(73) 特許権者	301022471 独立行政法人通信総合研究所 東京都小金井市貫井北町4-2-1
(22) 出願日	平成11年12月21日 (1999. 12. 21)	(73) 特許権者	597044841 梅野 健 東京都小金井市貫井北町4-2-1 独 立行政法人通信総合研究所内
(65) 公開番号	特開2001-175168(P2001-175168A)	(72) 発明者	梅野 健 東京都小金井市貫井北町4丁目2番1号 郵政省通信総合研究所内
(43) 公開日	平成13年6月29日 (2001. 6. 29)	(74) 代理人	100095107 弁理士 木村 満 (外1名)
審査請求日	平成11年12月21日 (1999. 12. 21)	審査官	石山 信行
		(56) 参考文献	特開2000-276331 (J P, A) 特開 平10-283344 (J P, A)

最終頁に続く

(54) 【発明の名称】 ベクトル列の出力装置、出力方法、および、情報記録媒体

1

(57) 【特許請求の範囲】

【請求項1】 以下を備えることを特徴とするベクトル列の出力装置。

- (a) 1次元以上のベクトル $x$ を記憶する第1の記憶部と、
- (b) 前記第1の記憶部に記憶されたベクトル $x$ に第1の有理ベクトル写像 $f$ を適用した結果のベクトル $x' = f(x)$ を計算する第1の計算部と、
- (c) 1次元以上のベクトル $y$ を記憶する第2の記憶部と、
- (d) 前記第1の記憶部に記憶されたベクトル $x$ と、前記第2の記憶部に記憶された1次元以上のベクトル $y$ とに、第2の有理ベクトル写像 $g$ を適用した結果のベクトル $y' = g(x, y)$ を計算する第2の計算部と、
- (e) 前記第1の計算部により計算された結果のベクトル

2

ル $x'$ と前記第2の計算部により計算された結果のベクトル $y'$ とを結合したベクトル $z'$ を出力する出力部と、

(f) 前記第1の計算部により計算された結果のベクトル $x'$ を前記第1の記憶部に記憶させて更新する第1の更新部と、

(g) 前記第2の計算部により計算された結果のベクトル $y'$ を前記第2の記憶部に記憶させて更新する第2の更新部。ただし、有理ベクトル写像とは、有理数の成分からなる1次元以上のベクトルを有理数の成分からなる1次元以上のベクトルへと変換する写像をいう。

【請求項2】 前記第1の有理ベクトル写像 $f$ を1次元以上のベクトル $x$ に0回以上適用して得られるベクトル列 $x, f(x), f(f(x)), f(f(f(x))), \dots$

の極限分布の密度関数は解析的な関数であり、前記第2の有理ベクトル写像 $g$ にパラメータとして1次

元以上のベクトル $\lambda$ を与えた写像 $g(\lambda, \cdot)$ を1次元以上のベクトル $y$ に0回以上適用して得られるベクトル列 $y, g(\lambda, y), g(\lambda, g(\lambda, y)), g(\lambda, g(\lambda, g(\lambda, y))), \dots$ の極限分布の密度関数は当該パラメータ $\lambda$ を有する解析的な関数であることを特徴とする請求項1に記載の出力装置。

【請求項3】前記第1の有理ベクトル写像 $f$ は、楕円関数の加法定理より導かれる有理写像、特に、ウラム＝フォン・ノイマン写像、キュービック写像、クインティック写像、又は、カツラ＝フクダ写像、一般化ウラム＝フォン・ノイマン写像、一般化キュービック写像、もしくは一般化チェビシエフ写像に所定のパラメータを与えたもののいずれかであることを特徴とする請求項2に記載の出力装置。

【請求項4】前記第2の有理ベクトル写像 $g$ は、楕円関数の加法定理より導かれる有理写像、特に、カツラ＝フクダ写像、一般化ウラム＝フォン・ノイマン写像、一般化キュービック写像、一般化チェビシエフ写像のいずれかであることを特徴とする請求項2に記載の出力装置。

【請求項5】以下を備えることを特徴とするベクトル列の出力装置。

(a) 2次元以上のベクトル $\zeta$ を受け付けて、これから1次元以上のベクトル $\xi$ と1次元以上のベクトル $\eta$ とを生成する生成部と、

(b) 前記生成部により生成されたベクトル $\xi$ を受け付けて、第1の有理ベクトル写像 $f$ を用いた漸化式

$$x[0] = \zeta$$

$$x[i+1] = f(x[i]) \quad (\text{ただし } i \geq 0)$$

により得られるベクトル列 $x[i]$ を出力する第1の出力部と、

(c) 前記生成部により生成されたベクトル $\eta$ と、前記第1の出力部により出力されるベクトル列 $x[i]$ とを受け付けて、第2の有理ベクトル写像 $g$ を用いた漸化式

$$y[0] = \eta$$

$$y[i+1] = g(x[i], y[i]) \quad (\text{ただし } i \geq 0)$$

により得られるベクトル列 $y[i]$ を出力する第2の出力部と、

(d) 前記第1の出力部により出力されるベクトル列 $x[i]$ と、前記第2の出力部により出力されるベクトル列 $y[i]$ とを結合して得られるベクトル列 $z[i]$ を結果として出力する第3の出力部。

【請求項6】前記第1の有理ベクトル写像 $f$ を1次元以上のベクトル $x$ に0回以上適用して得られるベクトル列 $x, f(x), f(f(x)), f(f(f(x))), \dots$

の極限分布の密度関数は解析的な関数であり、

前記第2の有理ベクトル写像 $g$ にパラメータとして1次元以上のベクトル $\lambda$ を与えた写像 $g(\lambda, \cdot)$ を1次元以上のベクトル $y$ に0回以上適用して得られるベクトル列 $y, g(\lambda, y), g(\lambda, g(\lambda, y)), g(\lambda, g(\lambda, g(\lambda, y))), \dots$

の極限分布の密度関数は当該パラメータ $\lambda$ を有する解析

的な関数であることを特徴とする請求項5に記載の出力装置。

【請求項7】前記第1の有理ベクトル写像 $f$ は、楕円関数の加法定理より導かれる有理写像、特に、ウラム＝フォン・ノイマン写像、キュービック写像、クインティック写像、または、カツラ＝フクダ写像、一般化ウラム＝フォン・ノイマン写像、一般化キュービック写像もしくは一般化チェビシエフ写像に所定のパラメータを与えたもののいずれかであることを特徴とする請求項6に記載の出力装置。

【請求項8】前記第2の有理ベクトル写像 $g$ は、楕円関数の加法定理より導かれる有理写像、特に、カツラ＝フクダ写像、一般化ウラム＝フォン・ノイマン写像、一般化キュービック写像、一般化チェビシエフ写像のいずれかであることを特徴とする請求項6に記載の出力装置。

【請求項9】前記第1の出力部もまた請求項5に記載の出力装置であることを特徴とする請求項5に記載の出力装置。

【請求項10】以下のステップを備えることを特徴とするベクトル列の出力方法。

(a) 第1の記憶部に記憶された1次元以上のベクトル $x$ に第1の有理ベクトル写像 $f$ を適用した結果のベクトル $x' = f(x)$ を計算する第1の計算ステップと、

(b) 前記第1の記憶部に記憶されたベクトル $x$ と、第2の記憶部に記憶された1次元以上のベクトル $y$ とに第2の有理ベクトル写像 $g$ を適用した結果のベクトル $y' = g(x, y)$ を計算する第2の計算ステップと、

(c) 前記第1の計算ステップにおいて計算された結果のベクトル $x'$ と、前記第2の計算ステップにおいて計算された結果のベクトル $y'$ とを結合したベクトル $z'$ を出力する出力ステップと、

(d) 前記第1の計算ステップにおいて計算された結果のベクトル $x'$ を前記第1の記憶部に記憶させて更新する第1の更新ステップと、

(e) 前記第2の計算ステップにおいて計算された結果のベクトル $y'$ を前記第2の記憶部に記憶させて更新する第2の更新ステップ。

【請求項11】前記第1の有理ベクトル写像 $f$ を1次元以上のベクトル $x$ に0回以上適用して得られるベクトル列

$$x, f(x), f(f(x)), f(f(f(x))), \dots$$

の極限分布の密度関数は解析的な関数であり、

前記第2の有理ベクトル写像 $g$ にパラメータとして1次元以上のベクトル $\lambda$ を与えた写像 $g(\lambda, \cdot)$ を1次元以上のベクトル $y$ に0回以上適用して得られるベクトル列

$y, g(\lambda, y), g(\lambda, g(\lambda, y)), g(\lambda, g(\lambda, g(\lambda, y))), \dots$ の極限分布の密度関数は当該パラメータ $\lambda$ を有する解析的な関数であることを特徴とする請求項10に記載の出力方法。

【請求項12】前記第1の有理ベクトル写像 $f$ は、楕円

関数の加法定理より導かれる有理写像、特に、ウラム＝フォン・ノイマン写像、キュービック写像、クインティック写像、又はカツラ＝フクダ写像、一般化ウラム＝フォン・ノイマン写像、一般化キュービック写像もしくは一般化チェビシェフ写像に所定のパラメータを与えたもののいずれかであることを特徴とする請求項 1 1 に記載の出力方法。

【請求項 1 3】前記第 2 の有理ベクトル写像  $g$  は、カツラ＝フクダ写像、一般化ウラム＝フォン・ノイマン写像、一般化キュービック写像、一般化チェビシェフ写像のいずれかであることを特徴とする請求項 1 1 に記載の出力方法。

【請求項 1 4】以下のステップを備えることを特徴とするプログラムを記録した情報記録媒体。

(a) 第 1 の記憶部に記憶された 1 次元以上のベクトル  $x$  に第 1 の有理ベクトル写像  $f$  を適用した結果のベクトル  $x' = f(x)$  を計算する第 1 の計算ステップと、

(b) 前記第 1 の記憶部に記憶されたベクトル  $x$  と、第 2 の記憶部に記憶された 1 次元以上のベクトル  $y$  とに第 2 の有理ベクトル写像  $g$  を適用した結果のベクトル  $y' = g(x, y)$  を計算する第 2 の計算ステップと、

(c) 前記第 1 の計算ステップにおいて計算された結果のベクトル  $x'$  と、前記第 2 の計算ステップにおいて計算された結果のベクトル  $y'$  とを結合したベクトル  $z'$  を出力する出力ステップと、

(d) 前記第 1 の計算ステップにおいて計算された結果のベクトル  $x'$  を前記第 1 の記憶部に記憶させて更新する第 1 の更新ステップと、

(e) 前記第 2 の計算ステップにおいて計算された結果のベクトル  $y'$  を前記第 2 の記憶部に記憶させて更新する第 2 の更新ステップ。

【請求項 1 5】前記第 1 の有理ベクトル写像  $f$  を 1 次元以上のベクトル  $x$  に 0 回以上適用して得られるベクトル列

$x, f(x), f(f(x)), f(f(f(x))), \dots$

の極限分布の密度関数は解析的な関数であり、前記第 2 の有理ベクトル写像  $g$  にパラメータとして 1 次元以上のベクトル  $\lambda$  を与えた写像  $g(\lambda, \cdot)$  を 1 次元以上のベクトル  $y$  に 0 回以上適用して得られるベクトル列  $y, g(\lambda, y), g(\lambda, g(\lambda, y)), g(\lambda, g(\lambda, g(\lambda, y))), \dots$  の極限分布の密度関数は当該パラメータ  $\lambda$  を有する解析的な関数であることを特徴とする請求項 1 4 に記載の情報記録媒体。

【請求項 1 6】前記第 1 の有理ベクトル写像  $f$  は、楕円関数の加法定理より導かれる有理写像、特に、ウラム＝フォン・ノイマン写像、キュービック写像、クインティック写像、又は、カツラ＝フクダ写像、一般化ウラム＝フォン・ノイマン写像、一般化キュービック写像もしくは一般化チェビシェフ写像に所定のパラメータを与えたもののいずれかであることを特徴とする請求項 1 5 に記

載の情報記録媒体。

【請求項 1 7】前記第 2 の有理ベクトル写像  $g$  は、楕円関数の加法定理より導かれる有理写像、特に、カツラ＝フクダ写像、一般化ウラム＝フォン・ノイマン写像、一般化キュービック写像、一般化チェビシェフ写像のいずれかであることを特徴とする請求項 1 5 に記載の情報記録媒体。

【請求項 1 8】前記情報記録媒体は、コンパクトディスク、フロッピーディスク、ハードディスク、光磁気ディスク、デジタルビデオディスク、磁気テープ、または、半導体メモリであることを特徴とする請求項 1 4 から 1 7 に記載の情報記録媒体。

【発明の詳細な説明】

【0001】

【発明の属する技術分野】本発明は、ベクトル列の出力装置、出力方法、および、情報記録媒体に関する。

【0002】特に、出力されるランダムなベクトル列の分布の密度関数が既知の解析的な関数であるようなベクトル列の生成手法が 2 つあるときに、これらを結び付けて、より高次元のランダムなベクトル列であって、その分布の密度関数が解析的な関数として得られるものを出力するベクトル列の出力装置、出力方法、および、これらを実現するプログラムを記録した情報記録媒体に関する。

【0003】

【従来の技術】従来から、漸化式を用いた乱数の生成手法が多数知られている。物理学や工学などの模擬実験を行うモンテカルロ法では、このようにして生成された乱数を用いる。

【0004】また、移動体電話で用いられる CDMA (Code Division Multiple Access) 法では、限られた電波帯域を多数のユーザが有効に利用できるようにするため、乱数から得られる PN (Pseudo Noise) コードを各ユーザに割り当てている。

【0005】このほか、インターネットなどの通信技術の発達により、通信の秘密保持の必要性がますます大きくなってきており、公開鍵暗号という手法を用いて秘密保持を行うことが一般的になりつつある。この手法においても、公開鍵を生成するために乱数を用いられている。

【0006】このような乱数を得るために、従来から、漸化式を用いた手法が広く利用されている。古くから知られる乗算による漸化式では乱数の周期が問題となっていた。しかし、近年、カオス理論の発展により、楕円関数 (三角関数を含む) の加法定理から導かれる有理写像を漸化式に用いて得られる乱数には、以下のような有利な性質があることが判明しており、その重要性はますます高まってきている。

【0007】(1) 出力される乱数列には周期がないため、繰り返し同じ列が出力されることがない。

(2) 乱数の種 (漸化式に与える初期値) として有理数を与えると、得られる乱数列に含まれる数がいずれも有理数になる。

(3) 乱数の分布を表す密度関数が既知の解析的関数である。

【0008】このような有理写像としては、ウラム=フォン・ノイマン写像 [数1]、キュービック写像 [数2]、クインティック写像 [数3] などが知られている。

【0009】  
【数1】

$$f(x) = 4x(1 - x)$$

【0010】  
【数2】

$$f(x) = x(3 - 4x)^2$$

【0011】  
【数3】

$$f(x) = x(5 - 20x + 16x^2)^2$$

$$f(l, m, x) = \frac{4(1-x)(1-lx)(1-mx)}{1 - Ax^2 - Bx^3 - Cx^4}$$

ただし

$$A = 2(l + m + lm)$$

$$B = 8lm$$

$$C = l^2 + m^2 - 2lm - 2l^2m - 2lm^2 + l^2m^2$$

【0016】たとえば、一般化ウラム=フォン・ノイマン写像 [数5] を用いて上記の漸化式により乱数列を得た場合、その分布も同じパラメータを有する密度関数

【数6】 で表現される。

【0017】

【数6】

$$K(l, m) = \frac{1}{\int_0^1 \sqrt{x(1-x)(1-lx)(1-mx)} dx}$$

ただし

$$K(l, m) = \int_0^1 \frac{du}{\sqrt{(1-u^2)(1-lu^2)(1-mu^2)}}$$

【0018】なお、カツラ=フクダ写像は、一般化ウラム=フォン・ノイマン写像 [数5] において、m=0とおいたものである。

【0019】これらの有理写像を用いた乱数を生成する手法については、本願の発明者らによる出願に係る特開平 10-283344号公報に開示されている。また、その理論的背景については以下の文献に開示されている。

S. M. Ulam and J. von Neumann, Bull. Math. Soc. 53 (1947) pp. 1120.

【0012】これらの有理写像のいずれを選んだ場合であっても、適当な初期値  $\xi$  ( $0 < \xi < 1$ ) を与え、以下の漸化式により乱数列  $x[i]$  を得た場合、この乱数列  $x[i]$  の分布を表す密度関数は、[数4] で表現される。

$$x[0] = \xi$$

$$x[i+1] = f(x[i]) \quad (i \geq 0)$$

【0013】

【数4】

$$\rho(x) = \frac{1}{\pi \sqrt{x(1-x)}}$$

【0014】また、パラメータを有する有理写像も漸化式として用いることができ、このような有理写像としてカツラ=フクダ写像、一般化ウラム=フォン・ノイマン写像 [数5]、一般化キュービック写像、一般化チェビシェフ写像などがある。

【0015】

【数5】

【数6】

【0017】

【数6】

R. L. Adler and T. J. Rivlin, Proc. Am. Math. Soc. 15 (1964) pp. 794.

K. Umeno, Method of constructing exactly solvable chaos, Phys. Rev. E(1997) Vol. 55 pp. 5280-5284.

【0020】従来、このような乱数生成手法では、乱数の種としてスカラー値 (1次元のベクトル) を与えることにより、乱数列 (ランダムな1次元のベクトル列) を得ることができた。

【0021】

【発明が解決しようとする課題】しかしながら、従来の

乱数発生の手法においては、以下のような問題があった。

【0022】すなわち、2次元以上の空間におけるモンテカルロ法では、2次元以上のベクトルのランダムな列が必要である。しかし、従来の乱数発生の手法においては、得られる乱数列はスカラー値の列（1次元のベクトル列）であり、たとえば、3次元空間の模擬実験を行う際に、この列の先頭から順に3個ずつ値を必要な数だけ選択するのでは、乱数分布に偏りが発生し、収束性が悪化してしまうという問題が生じていた。

【0023】また、公開鍵暗号を生成する場合には、2つの整数の対からなる乱数を得る必要があるが、従来の乱数発生の手法においては、この対を同時に生成することができないため、悪意のある暗号解読者に対する防御が十分でなくなってしまうという問題が生じていた。

【0024】このように、複数個の乱数の組が同時に1つのベクトルとして生成され、これを列として、ランダムなベクトル列を出力でき、なおかつ、これらのベクトル列の分布の密度関数が解析的に得られるような出力装置や出力方法に対する要望は、極めて大きい。

【0025】本発明は、以上のような問題を解決するためになされたもので、出力されるランダムなベクトル列の分布の密度関数が既知の解析的な関数であるようなベクトル列の生成手法が2つあるときに、これらを結び付けて、より高次元のランダムなベクトル列であって、その分布の密度関数が解析的な関数として得られるものを出力するベクトル列の出力装置、出力方法、および、これらを実現するプログラムを記録した情報記録媒体を提供することを目的とする。

【0026】

【課題を解決するための手段】以上の目的を達成するため、本発明の原理にしたがって、下記の発明を開示する。

【0027】図1に示すように、本発明のベクトル列の出力装置100は、第1の記憶部101と、第1の計算部102と、第2の記憶部103と、第2の計算部104と、出力部105と、第1の更新部106と、第2の更新部107とを備え、(a)第1の記憶部101は、1次元以上のベクトル $x$ を記憶し、(b)第1の計算部102は、第1の記憶部101に記憶されたベクトル $x$ に第1の有理ベクトル写像 $f$ を適用した結果のベクトル $x' = f(x)$ を計算し、

【0028】(c)第2の記憶部103は、1次元以上のベクトル $y$ を記憶し、(d)第2の計算部104は、第1の記憶部101に記憶されたベクトル $x$ と、第2の記憶部103に記憶された1次元以上のベクトル $y$ とに、第2の有理ベクトル写像 $g$ を適用した結果のベクトル $y' = g(x, y)$ を計算し、

【0029】(e)出力部105は、第1の計算部102により計算された結果のベクトル $x'$ と第2の計算部1

04により計算された結果のベクトル $y'$ とを結合したベクトル $z'$ を出力し、(f)第1の更新部106は、第1の計算部102により計算された結果のベクトル $x'$ を第1の記憶部101に記憶させて更新し、(g)第2の更新部107は、第2の計算部104により計算された結果のベクトル $y'$ を第2の記憶部103に記憶させて更新する。

【0030】ここで、有理ベクトル写像 $f$ および $g$ としては、後述するカオス理論に基づく写像のほか、乱数を生成する漸化式に用いられる任意の写像を用いることができる。たとえば、巨大な素数を乗算して剰余を求める写像などを利用することが可能である。

【0031】また、本発明のベクトル列の出力装置において、第1の有理ベクトル写像 $f$ を1次元以上のベクトル $x$ に0回以上適用して得られるベクトル列 $x, f(x), f(f(x)), f(f(f(x))), \dots$ の極限分布の密度関数は解析的な関数であり、

【0032】第2の有理ベクトル写像 $g$ にパラメータとして1次元以上のベクトル $\lambda$ を与えた写像 $g(\lambda, \cdot)$ を1次元以上のベクトル $y$ に0回以上適用して得られるベクトル列 $y, g(\lambda, y), g(\lambda, g(\lambda, y)), g(\lambda, g(\lambda, g(\lambda, y))), \dots$ の極限分布の密度関数は当該パラメータ $\lambda$ を有する解析的な関数であるように構成することができる。

【0033】また、本発明のベクトル列の出力装置の第1の有理ベクトル写像 $f$ は、楕円関数の加法定理より導かれる有理写像、特に、ウラム＝フォン・ノイマン写像、キュービック写像、クインティック写像、又は、カツラ＝フクダ写像、一般化ウラム＝フォン・ノイマン写像、一般化キュービック写像、もしくは一般化チェビシェフ写像に所定のパラメータを与えたもののいずれかとすることができる。

【0034】また、本発明の第2の有理ベクトル写像 $g$ は、楕円関数の加法定理より導かれる有理写像、特に、カツラ＝フクダ写像、一般化ウラム＝フォン・ノイマン写像、一般化キュービック写像、一般化チェビシェフ写像のいずれかとすることができる。

【0035】第1の有理ベクトル写像 $f$ と、第2の有理ベクトル写像 $g$ として上記のような楕円関数の加法定理より導かれる有理写像を選択すると、出力部105が順次出力するベクトル列の分布の密度関数をこれらの写像から得られる乱数列の密度関数から得ることができる。

【0036】図2に示すように、本発明のベクトル列の出力装置200は、生成部201と、第1の出力部202と、第2の出力部203と、第3の出力部204とを備え、(a)生成部201は、2次元以上のベクトル $\xi$ を受け付けて、これから1次元以上のベクトル $\eta$ と1次元以上のベクトル $\zeta$ とを生成し、

【0037】(b)第1の出力部202は、生成部20

1により生成されたベクトル $\xi$ を受け付けて、第1の有理ベクトル写像 $f$ を用いた漸化式

$$x[0] = \xi$$

$$x[i+1] = f(x[i]) \quad (\text{ただし } i \geq 0)$$

により得られるベクトル列 $x[i]$ を出力し、

【0038】(c)第2の出力部203は、生成部201により生成されたベクトル $\eta$ と、第1の出力部202

により出力されるベクトル列 $x[i]$ を受け付けて、第2の有理ベクトル写像 $g$ を用いた漸化式

$$y[0] = \eta$$

$$y[i+1] = g(x[i], y[i]) \quad (\text{ただし } i \geq 0)$$

により得られるベクトル列 $y[i]$ を出力し、

【0039】(d)第3の出力部204は、第1の出力部202により出力されるベクトル列 $x[i]$ と、第2の出力部203により出力されるベクトル列 $y[i]$ とを結合して得られるベクトル列 $z[i]$ を結果として出力する。

【0040】また、本発明のベクトル列の出力装置において、第1の有理ベクトル写像 $f$ を1次元以上のベクトル $x$ に0回以上適用して得られるベクトル列

$$x, f(x), f(f(x)), f(f(f(x))), \dots$$

の極限分布の密度関数は解析的な関数であり、

【0041】第2の有理ベクトル写像 $g$ にパラメータとして1次元以上のベクトル $\lambda$ を与えた写像 $g(\lambda, \cdot)$ を1次元以上のベクトル $y$ に0回以上適用して得られるベクトル列

$$y, g(\lambda, y), g(\lambda, g(\lambda, y)), g(\lambda, g(\lambda, g(\lambda, y))), \dots$$

の極限分布の密度関数は当該パラメータ $\lambda$ を有する解析的な関数であるように構成することができる。

【0042】また、本発明のベクトル列の出力装置の第1の有理ベクトル写像 $f$ は、楕円関数の加法定理より導かれる有理写像、特に、ウラム＝フォン・ノイマン写像、キュービック写像、クインティック写像、または、カツラ＝フクダ写像、一般化ウラム＝フォン・ノイマン写像、一般化キュービック写像もしくは一般化チェビシエフ写像に所定のパラメータを与えたもののいずれかとすることができる。

【0043】また、本発明のベクトル列の出力装置の第2の有理ベクトル写像 $g$ は、楕円関数の加法定理より導かれる有理写像、特に、カツラ＝フクダ写像、一般化ウラム＝フォン・ノイマン写像、一般化キュービック写像、一般化チェビシエフ写像のいずれかとすることができる。

【0044】この場合も、有理ベクトル写像 $f$ と $g$ とから、出力されるベクトル列の分布の密度関数を解析的に得ることができる。

【0045】また、本発明のベクトル列の出力装置の第1の出力部202もまた、本発明のベクトル列の出力装置とすることができる。すなわち、

(1)まず、ある有理ベクトル写像 $f$ とパラメータを有する有理ベクトル写像 $g$ とからベクトル列の出力装置X

を構成する。

【0046】(2)次に、当該出力装置Xをある有理ベクトル写像 $f'$ に対応させ、これとパラメータを有する有理ベクトル写像 $g'$ とから、同じように新たなベクトル列の出力装置Yを構成する。出力装置Yが出力するベクトル列のベクトルの次元は、出力装置Xが出力するベクトル列のベクトルの次元よりも大きい。

【0047】(3)これを繰り返すことにより、ランダムな任意の次元のベクトル列の出力装置を構成することができる。

【0048】本発明のベクトル列の出力方法は、以下のステップを備える。

(a)第1の記憶部に記憶された1次元以上のベクトル $x$ を取得する第1の取得ステップと、(b)第1の取得ステップにおいて取得されたベクトル $x$ に第1の有理ベクトル写像 $f$ を適用した結果のベクトル $x' = f(x)$ を計算する第1の計算ステップと、

【0049】(c)第2の記憶部に記憶された1次元以上のベクトル $y$ を取得する第2の取得ステップと、

(d)第1の記憶部に記憶されたベクトル $x$ と、第2の取得ステップにおいて取得されたベクトル $y$ とに第2の有理ベクトル写像 $g$ を適用した結果のベクトル $y' = g(x, y)$ を計算する第2の計算ステップと、

【0050】(e)第1の計算ステップにおいて計算された結果のベクトル $x'$ と、第2の計算ステップにおいて計算された結果のベクトル $y'$ とを結合したベクトル $z'$ を出力する出力ステップと、

【0051】(f)第1の計算ステップにおいて計算された結果のベクトル $x'$ を第1の記憶部に記憶させて更新する第1の更新ステップと、(g)第2の計算ステップにおいて計算された結果のベクトル $y'$ を第2の記憶部に記憶させて更新する第2の更新ステップ。

【0052】また、本発明のベクトル列の出力方法において、第1の有理ベクトル写像 $f$ を1次元以上のベクトル $x$ に0回以上適用して得られるベクトル列

$$x, f(x), f(f(x)), f(f(f(x))), \dots$$

の極限分布の密度関数は解析的な関数であり、

【0053】第2の有理ベクトル写像 $g$ にパラメータとして1次元以上のベクトル $\lambda$ を与えた写像 $g(\lambda, \cdot)$ を1次元以上のベクトル $y$ に0回以上適用して得られるベクトル列

$$y, g(\lambda, y), g(\lambda, g(\lambda, y)), g(\lambda, g(\lambda, g(\lambda, y))), \dots$$

の極限分布の密度関数は当該パラメータ $\lambda$ を有する解析的な関数であるように構成することができる。

【0054】また、本発明のベクトル列の出力方法において、第1の有理ベクトル写像 $f$ は、楕円関数の加法定理より導かれる有理写像、特に、ウラム＝フォン・ノイマン写像、キュービック写像、クインティック写像、又はカツラ＝フクダ写像一般化ウラム＝フォン・ノイマン写像、一般化キュービック写像もしくは一般化チェビシ

ェフ写像に所定のパラメータを与えたもののいずれかとすることができる。

【0055】また、本発明のベクトル列の出力方法において、第2の有理ベクトル写像gは、カツラ=フクダ写像、一般化ウラム=フォン・ノイマン写像、一般化キュービック写像、一般化チェビシェフ写像のいずれかとすることができる。

【0056】この場合も、有理ベクトル写像fとgとから、出力されるベクトル列の分布の密度関数を解析的に得ることができる。

【0057】本発明のベクトル列を出力する出力装置と、出力方法とを実現するプログラムをコンパクトディスク、フロッピーディスク、ハードディスク、光磁気ディスク、デジタルビデオディスク、磁気テープ、半導体メモリなどの情報記録媒体に記録することができる。

【0058】本発明の情報記録媒体に記録されたプログラムを、記憶装置、計算装置、出力装置などを備える情報処理装置、たとえば汎用コンピュータ、ゲーム装置、携帯情報端末、移動体電話で実行することにより、上記のベクトル列を出力する出力装置と、出力方法とを実現

【0059】また、情報処理装置とは独立して、本発明のプログラムを記録した情報記録媒体を配布、販売することができる。

【0060】

【発明の実施の形態】以下に本発明の一実施形態を説明する。なお、以下に説明する実施形態は説明のためのものであり、本願発明の範囲を制限するものではない。したがって、当業者であればこれらの各要素もしくは全要素をこれと均等なものに置換した実施形態を採用することが可能であるが、これらの実施形態も本願発明の範囲に含まれる。

【0061】(第1実施例)図3は、本発明のベクトル列の出力装置を汎用コンピュータなどの情報処理装置において実現する実施例の、当該情報処理装置のブロック構成図である。

【0062】情報処理装置301は、CPU(Central Processing Unit; 中央処理ユニット)302により制御され、RAM(Random Access Memory; ランダム・アクセス・メモリ)などの主記憶装置303には一時的なデータなどを記憶し、ハードディスク、フロッピーディスク、CD-ROM(Compact Disk Read Only Memory)、磁気テープ、光磁気ディスクなどの外部記憶装置304にはCPU302が実行するプログラムが記憶される。

【0063】情報処理装置301に電源が投入されると、CPU302は、まず、ROM(Read Only Memory; 読出専用メモリ)308に記憶されている初期プログラムロードと呼ばれるプログラムを実行し、しかる後に外部記憶装置304などからオペレーティングシステ

ムのプログラムやアプリケーションのプログラムなどを主記憶装置303にロードして実行する。

【0064】実行した結果は、外部記憶装置304にファイルとして記憶したり、CRT(Cathode Ray Tube)や液晶ディスプレイなどの表示装置305に表示することができる。情報処理装置のユーザは、マウスやキーボードなどの入力装置306を用いて情報処理装置に対する指示を与える。

【0065】ここで、情報処理装置301が図1に示すベクトル列の出力装置100として機能する場合、主記憶装置303は、第1の記憶部101、第2の記憶部103として機能し、CPU302は、第1の計算部102、第2の計算部104、第1の更新部106、第2の更新部107として機能し、外部記憶装置304は、結果をファイルとして出力する場合は出力部105として機能し、表示装置305は、結果を表示して出力する場合は出力部105として機能し、主記憶装置303は、結果をほかのプログラムで利用する場合は出力部105として機能する。

【0066】また、情報処理装置301が、図2に示すベクトル列の出力装置200として機能する場合は、CPU302は、主記憶装置303や、必要に応じて外部記憶装置304、表示装置305と共働して、生成部201、第1の出力部202、第2の出力部203、第3の出力部204として機能する。

【0067】また、主記憶装置303、外部記憶装置304は、本発明の情報記録媒体として機能する。また、ROM308を本発明の情報記録媒体として機能させることもできる。

【0068】以下、図4を参照して、本発明のベクトル列の出力装置の処理を説明する。図4は、本発明の処理の流れを示すフローチャートである。

【0069】なお、以下では説明の都合上、有理写像fとしてウラム=フォン・ノイマン写像[数1]を、有理写像gとしてカツラ=フクダ写像を、それぞれ採用するが、これ以外の写像を利用することも当業者には容易であり、これらの実施形態も本発明の範囲に含まれる。

【0070】まず、CPU302は、現在の時刻などから乱数の種を取得する(ステップS401)。この場合、有理写像fはスカラー値(1次元のベクトル)に対して適用され、有理写像gは、スカラー値(1次元のベクトル)のパラメータとともにスカラー値(1次元のベクトル)に対して適用されるので、スカラー値の種が2つ必要である。見方を変えれば、2次元のベクトルを乱数の種として取得することになる。

【0071】なお、乱数の種は、ユーザが入力装置306から入力することも可能であり、これと時刻などの数値を組み合わせてもよい。これらは、公開鍵を生成する場合に有用である。

【0072】次に、CPU302は、取得した種をそ

れぞれ主記憶装置 3 0 3 内の第 1 の記憶部 1 0 1 と、第 2 の記憶部 1 0 3 とに記憶する (ステップ S 4 0 2)。これにより、乱数を生成するための初期値が設定される。

【 0 0 7 3 】なお、ステップ S 4 0 1 からステップ S 4 0 2 の処理は、図 2 に示すランダムなベクトル列を出力する装置 2 0 0 の生成部 2 0 1 が実行する処理に相当する。

【 0 0 7 4 】ついで、CPU 3 0 2 は、第 1 の記憶部 1 0 1 に記憶された値  $x$  と、第 2 の記憶部 1 0 3 に記憶された値  $y$  とを取得し (ステップ S 4 0 3)、これらを用いて値  $y' = g(x, y)$  を計算し (ステップ S 4 0 4)、計算された値  $y'$  を第 2 の記憶部 1 0 3 に記憶させて更新する (ステップ S 4 0 5)。

【 0 0 7 5 】すなわち、ステップ S 4 0 4 において、CPU 3 0 2 は、第 2 の計算部 1 0 4 として機能することになる。

【 0 0 7 6 】さらに、CPU 3 0 2 は、第 1 の記憶部 1 0 1 に記憶された値  $x$  を取得し (ステップ S 4 0 6)、これを用いて値  $x' = f(x)$  を計算し (ステップ S 4 0 7)、計算された値  $x'$  を第 1 の記憶部 1 0 1 に記憶させて更新する (ステップ S 4 0 8)。

【 0 0 7 7 】すなわち、ステップ S 4 0 7 において、CPU 3 0 2 は、第 1 の計算部 1 0 2 として機能することになる。

【 0 0 7 8 】最後に、CPU 3 0 2 は、第 1 の記憶部 1 0 1 に記憶された更新後の値  $x'$  と、第 2 の記憶部 1 0 3 に記憶された更新後の値  $y'$  とを結合して、外部記憶装置 3 0 4 などへ出力し (ステップ S 4 0 9)、ステップ S 4 0 3 に戻る。

【 0 0 7 9 】なお、ある  $n$  次元のベクトルと別の  $m$  次元のベクトルとを結合した結果は  $(n + m)$  次元のベクトルであり、その要素は、まず  $n$  次元のベクトルの要素を並べ、ついで  $m$  次元のベクトルの要素を並べたものである。図 2 に示すベクトル列の出力装置 2 0 0 の生成部 2 0 1 の処理は、ベクトルの結合の逆演算を行うことにより実現することができる。

【 0 0 8 0 】この繰り返しを行うことにより、ランダムな 2 次元ベクトルの列が外部記憶装置 3 0 4 に出力されることになる。

【 0 0 8 1 】なお、図 2 に示すベクトル列の出力装置 2 0 0 の第 1 の出力部 2 0 2 が実行する処理はステップ S 4 0 6 ~ ステップ S 4 0 8 に、第 2 の出力部 2 0 3 が実行する処理はステップ S 4 0 3 ~ ステップ S 4 0 5 に、第 3 の出力部 2 0 4 が実行する処理はステップ S 4 0 6 により、それぞれ実現されている。

【 0 0 8 2 】なお、本実施例では、上述の通り、有理写像  $f$  として一般化ウラム=フォン・ノイマン写像 [数 1] を採用するが、これを漸化式に使用した場合に得られる乱数の分布の密度関数を図 5 に示す。図 5 に示す通

り、これは  $0 \leq x \leq 1$  の範囲で定義される非一様な密度関数であり、 $x=0$  および  $x=1$  で無限大となり、 $0 < x < 1$  の範囲で下に凸な関数である。

【 0 0 8 3 】また、本実施例では、上述の通り、有理写像  $g$  としてカツラ=フクダ関数 [数 7] を採用するが、パラメータ  $x'$  を固定して漸化式に使用した場合に得られる乱数の分布もまた、[数 8] のように解析的に得ることができる。

【 0 0 8 4 】

【数 7】

$$g(x', y) = \frac{4y(1-y)(1-x'y)}{(1-x'y^2)^2}$$

【 0 0 8 5 】

【数 8】

$$\nu(x, y) = \frac{1}{K(x)\sqrt{y(1-y)(1-xy)}}$$

ただし

$$K(x) = \int_0^1 \frac{du}{\sqrt{(1-u^2)(1-xu^2)}}$$

【 0 0 8 6 】図 6 には、ステップ S 4 0 9 において出力される 2 次元ベクトルを座標値として、順次プロットしたものを示し、図 7 には、ステップ S 4 0 9 において出力される 2 次元ベクトルを座標値として、これをヒストグラムとしたものを示す。また、図 8 には、図 7 に示すヒストグラムをある断面で切った場合の様子を示す。

【 0 0 8 7 】発明者は、「一般に密度関数  $\rho(x)$  を有する有理写像  $f$  と、 $x$  というパラメータを持ち密度関数  $\nu(x, y)$  を有する有理写像  $g(x, \cdot)$  とを本発明の漸化式を用いる手法により結合した場合、出力されるベクトル列の分布の密度関数は  $\nu(x, y)\rho(x)$  となる」ことを数学的に証明している。したがって、分布の密度関数が既知の解析的な関数である場合には、これらを組み合わせた場合、分布の密度関数は、もとの分布の密度関数の積として、解析的に得ることができる。

【 0 0 8 8 】図 8 に示すグラフの形状が図 5 に示すグラフの形状とほぼ同じ形状をしていることから、この結論が正しいことがわかる。また、従来手法で問題となっていた乱数の偏りも少ないことがわかっている。

【 0 0 8 9 】なお、適宜各ステップの順序を変更したり、同じ処理を行うステップを別途実行することにより、上記実施例における制御の流れと同等の処理を実現することができるが、そのような実施形態も本発明の範囲に含まれる。

【 0 0 9 0 】(第 2 実施例) 本発明の第 2 実施例は、汎用コンピュータなどの情報処理装置によりベクトル列の出力装置を構成するものではなく、電子回路により構成

10

20

30

40

50



するものである。

【0091】すなわち、図1に示すベクトル列の出力装置100の第1の記憶部101と第2の記憶部103とは、いずれも、フリップフロップなどを基本とする記憶回路で構成することができる。

【0092】第1の計算部102と第2の計算部104とは、いずれも、加算回路と乗算回路の組み合わせで構成することができる。

【0093】出力部105は、第2の計算部104を構成する回路の出力線により構成することができる。

【0094】第1の更新部106と第2の更新部107とは、第1の計算部102と第2の計算部104とを構成する回路の出力線を、一定のクロック遅延をもってそれぞれ第1の記憶部101と第2の記憶部103とに帰還させて記憶させることにより構成することができる。

【0095】このように、専用の電子回路により本発明のベクトル列の出力装置を構成することにより、たとえば携帯情報端末や移動体電話など、少ない電力消費と簡単に省スペースな構成が必要とされる機器に本発明を適用することができる。

【0096】(第3実施例) 上記実施例では、有理写像として楕円関数の加法定理より導かれる有理写像を用いているが、楕円積分、超楕円積分、あるいは、これらを変形したものから導かれる写像にも、類似した性質を有するものがあり、そのような写像を利用してもよい。また、従来から用いられている乱数の発生手法の漸化式を表す写像を利用することもできる。

【0097】(第4実施例) 本発明で得られるランダムなベクトル列の密度関数は解析的に得られるので、フォン・ノイマンの逆関数法により、本発明で得られた任意次元のランダムなベクトル列から、一様分布を持つランダムなベクトル列を発生させることができる。

【0098】(第5実施例) 本発明は、UNIXなどのオペレーティング・システムやprolog、GHCなどの論理型言語やLisp、Haskellなどの関数型言語などで多用されるストリーム処理により実現することができる。すなわち、上述のような有理ベクトル写像fとgについて、以下のベクトル列x[i]のデータストリームを生成するプロセス(プログラミング言語上は、述

語、関数、手続などで表現される) Aと、

$x[0], x[1], x[2], x[3], \dots$

$x[0] = \zeta$

$x[i+1] = f(x[i])$  (ただし $i \geq 0$ )

このプロセスAが出力するデータストリームx[i]を順に受け付けて、以下のベクトル列y[i]のデータストリームを生成するプロセスBとを用意することにより、

$y[0], y[1], y[2], y[3], \dots$

$y[0] = \eta$

$y[i+1] = g(x[i], y[i])$  (ただし $i \geq 0$ )

本発明を実現することができる。

【0099】プロセスAとプロセスBとの通信は、いわゆる製造者=消費者モデルにより記述でき、要求駆動による生成、データストリームのバッファリングなどの公知の技法を利用することができる。

【0100】

【発明の効果】以上説明したように、本発明によれば、以下の効果を奏する。

【0101】出力されるランダムなベクトル列の分布の密度関数が既知の解析的な関数であるようなベクトル列の生成手法が2つあるときに、これら結び付けて、より高次元のランダムなベクトル列であって、その分布の密度関数が解析的な関数として得られるものを出力するベクトル列の出力装置、出力方法を提供することができる。

【0102】本発明では、既知のベクトル列の生成手法の分布の密度関数の積がより高次元のランダムなベクトル列の分布の密度関数となるため、容易に分布の特徴を得ることができ、さまざまな応用に資することができる。特に、生成手法として有理写像を採用した場合には、得られるベクトル列の各要素もすべて有理数となるという特徴を有し、計算機上の計算精度を厳密に保存するという利点を有する。

【0103】このようなランダムなベクトル列は、モンテカルロ法、移動体通信や光通信におけるCDMA、インターネットなどの通信における公開鍵暗号などで利用することができる。

【0104】さらに、プログラムを記録した情報記録媒体をソフトウェア商品として、情報処理装置のハードウェアと独立して容易に配布したり販売したりすることができるようになる。本発明の情報記録媒体に記録されたプログラムを汎用コンピュータなどの情報処理装置で実行すれば、上記の発明に係るベクトル列の出力装置、出力方法が実現できる。

【図面の簡単な説明】

【図1】本発明のベクトル列の出力装置の構成を示すブロック構成図である。

【図2】本発明のベクトル列の出力装置の構成を示すブロック構成図である。

【図3】本発明のランダムなベクトル列の出力装置を汎用コンピュータなどの情報処理装置において実現する実施例の、当該情報処理装置のブロック構成図である。

【図4】本発明の処理の流れを示すフローチャートである。

【図5】一般化ウラム=フォン・ノイマン写像を漸化式に使用した場合に得られる乱数の分布の密度関数を示すグラフである。

【図6】図4に示すフローチャートのステップS409において出力される2次元ベクトルを座標値として、順次プロットした説明図である。

【図7】図4に示すフローチャートのステップS409

において出力される2次元ベクトルを座標値としたヒストグラムである。

【図8】図7に示すヒストグラムをある断面で切断した場合のグラフである。

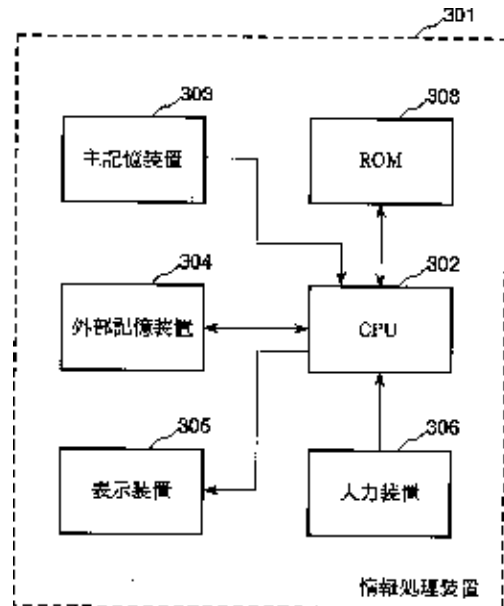
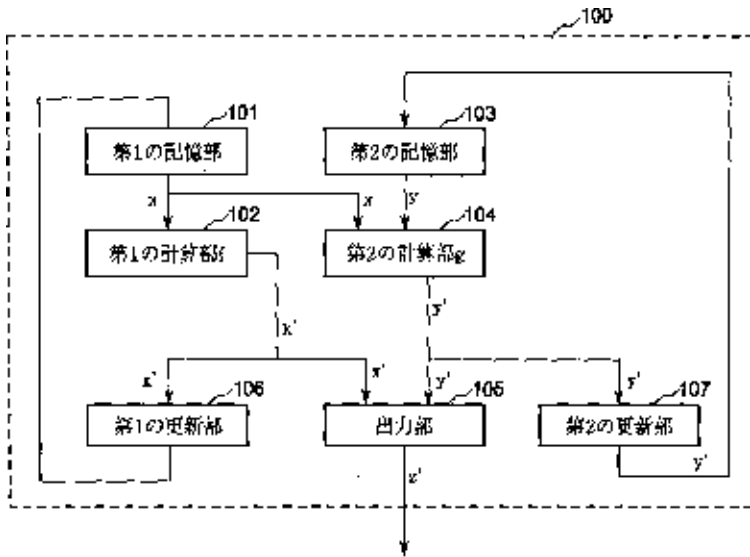
【符号の説明】

- 100 ベクトル列の出力装置
- 101 第1の記憶部
- 102 第1の計算部
- 103 第2の記憶部
- 104 第2の計算部
- 105 出力部
- 106 第1の更新部
- 107 第2の更新部

- 200 ベクトル列の出力装置
- 201 生成部
- 202 第1の出力部
- 203 第2の出力部
- 204 第3の出力部
- 301 情報処理装置
- 302 CPU
- 303 主記憶装置
- 304 外部記憶装置
- 10 305 表示装置
- 306 入力装置
- 308 ROM

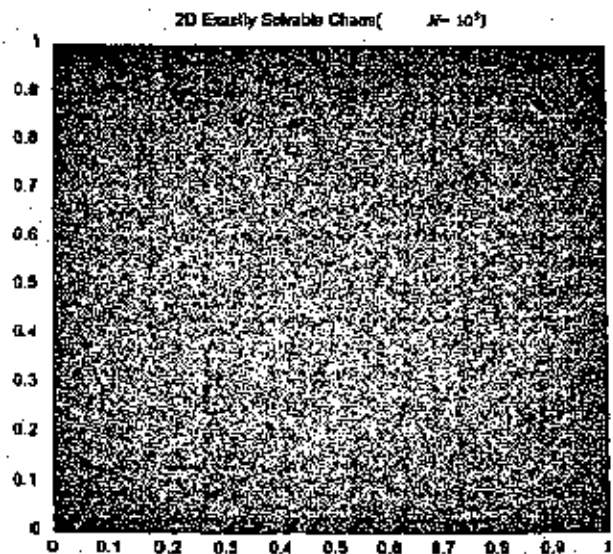
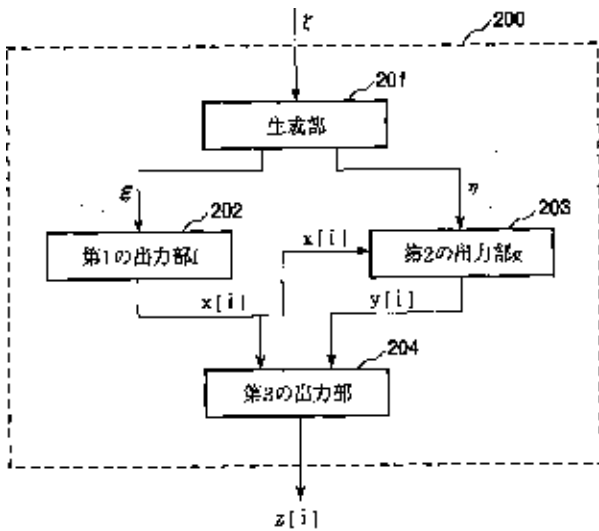
【図1】

【図3】

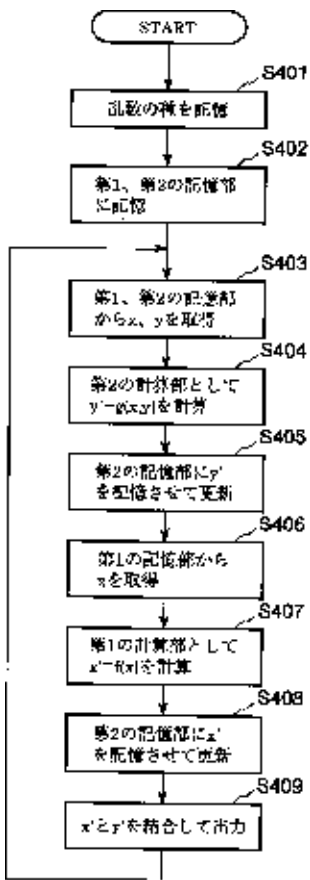


【図2】

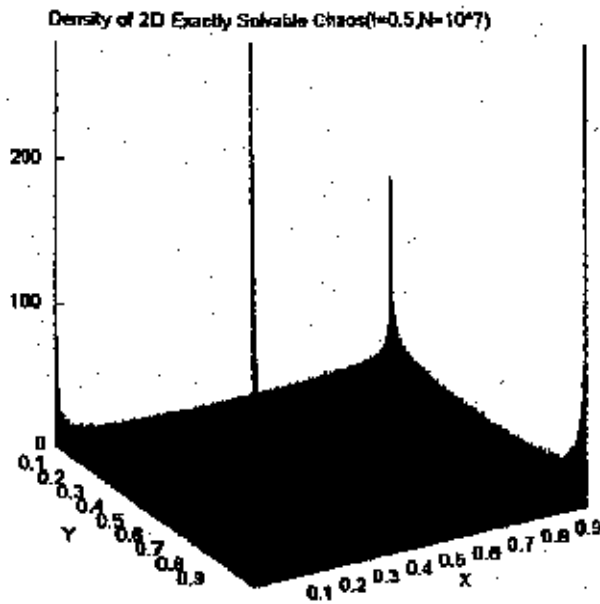
【図6】



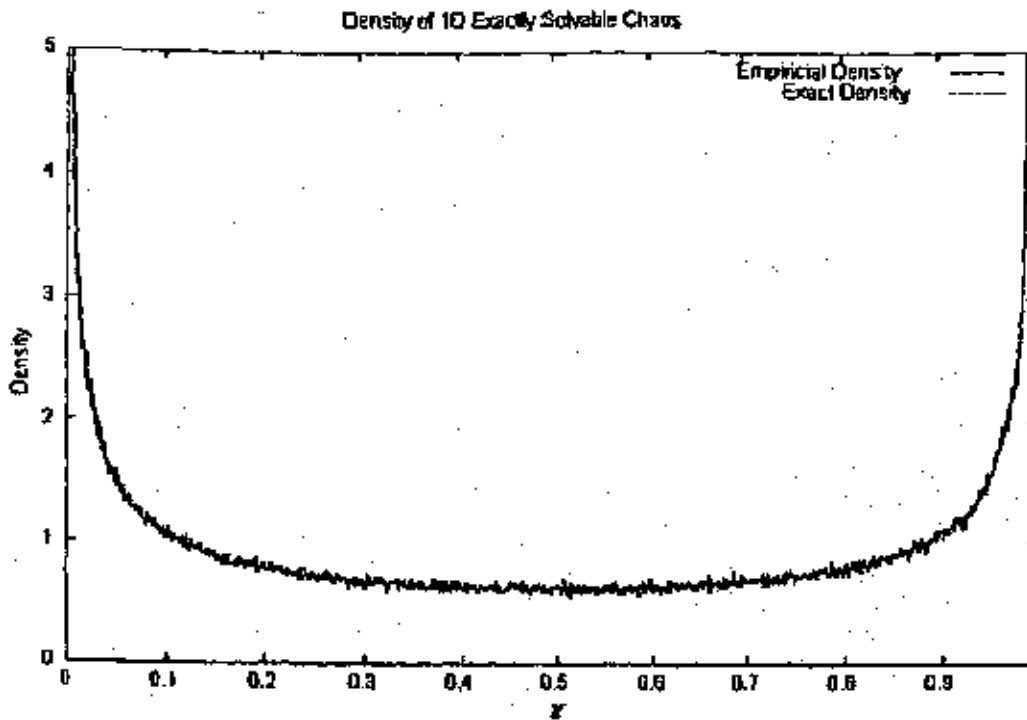
【 図 4 】



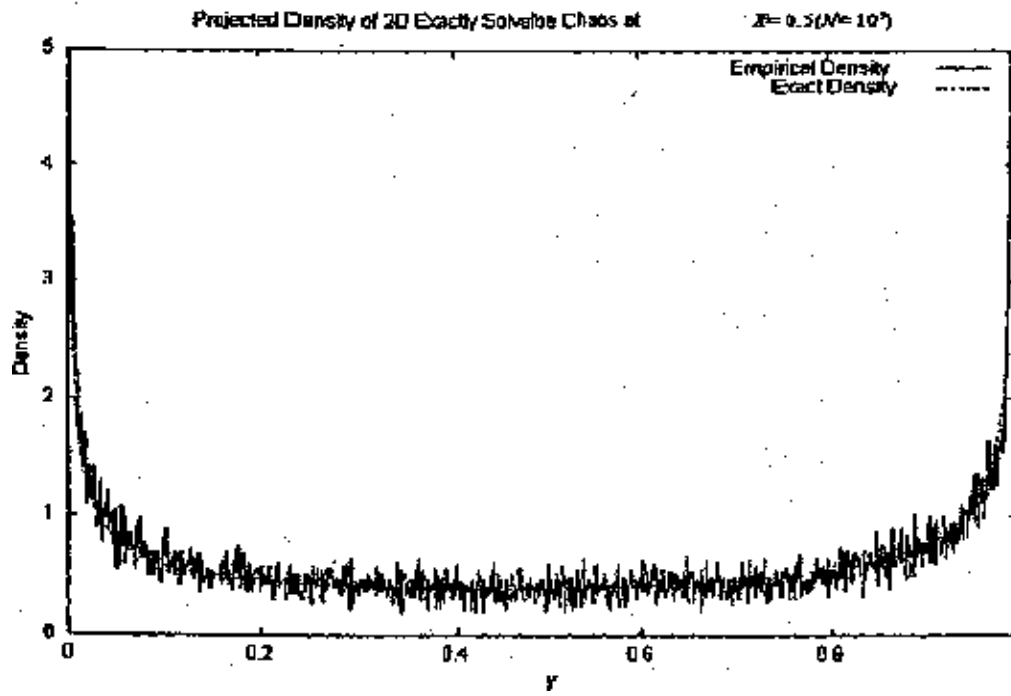
【 図 7 】



【 図 5 】



【図 8】



フロントページの続き

(58) 調査した分野(Int. Cl.<sup>7</sup>, DB名)

G09C 1/00 650

G06F 7/58